

1. まえおき

本文は前回に引続いて2点載荷におけるI型断面桁の横倒れ座屈について横方向と塔により拘束された場合と検討したものである。

一般に桁の横倒れ座屈荷重値の計算にはフランジ固定支間として横桁や横構取付支間とし、これら横桁や横構の断面性能を剛性およびこれらの支持する桁の剛性を考慮に入れた横方向力の拘束を考慮して行う。

ここでは2点載荷による横倒れ座屈を起す桁と横方向力の作用する横桁およびこれを支持する桁との横倒れ荷重のあきあきとの関連性を検討しあわせて支間4mのI型鋼を用いて実験した。

2. 横倒れ座屈荷重の計算

計算の仮定として横構は支間中央に1本とし、横構は桁の横倒れ座屈による横方向力によって降伏しない。かつ横構は主桁に対して対稱に配置されているため主桁の横倒れ座屈により一方の座屈を起す。即ち圧縮力の抵抗は1/2とし、また主桁は等断面で上下フランジの中心厚さは等しいとし、座屈状態と載荷状態をそれぞれ図1, 2の如く示す。

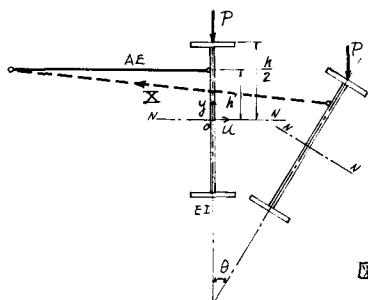


図1 横倒れ座屈状態

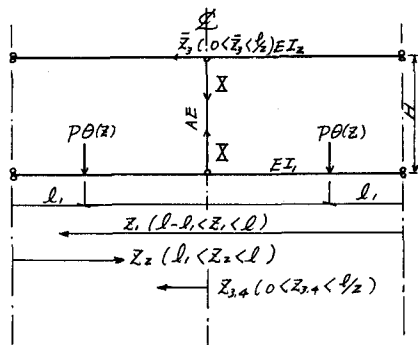


図2 載荷状態と座標軸

座屈波形は次式で近似した。

$$\theta_{1,2}(z_{1,2}) = a \left\{ 1 - \left(1 - \frac{2z_{1,2}^2}{l^2} \right)^2 \right\}, \quad \theta_{3,4}(z_{3,4}) = a \left(1 - \frac{4z_{3,4}^2}{l^2} \right) \quad (1)$$

横荷重の作用する主桁のポテンシャルエネルギーの減少 T と歪エネルギー V が等しい。これを考慮して支間を l 、図2に示すように座標軸をとり、各エネルギーは次式となる。

$$T = 2 \int_{l-l_1}^l P_0(z_1) \dot{u}_{z_1}(l-z_1) dz_1 + 2 \int_{l_1}^l P_0(z_2) \dot{u}_{z_2}(l-z_2) dz_2 + \frac{Pa^2 l}{2} - Pa^2 k' \alpha + \frac{\Sigma^2 H}{2AE} - 2 \left(1 - \frac{\Sigma}{l} \right) \left\{ \int_0^{\frac{l}{2}-l_1} \Sigma \theta_3(z_3) \dot{u}_{z_3} \left(\frac{l}{2} - z_3 \right) dz_3 + \int_{\frac{l}{2}-l_1}^{\frac{l}{2}} \Sigma \theta_4(z_4) \dot{u}_{z_4} \left(\frac{l}{2} - z_4 \right) dz_4 \right\} \quad (2)$$

$$V = EI_1 \left\{ \int_{l-l_1}^l (\dot{u}_{z_1})^2 dz_1 + \int_{l_1}^l (\dot{u}_{z_2})^2 dz_2 + \frac{I_2}{I_1} \int_0^{\frac{l}{2}-l_1} (\dot{u}_{z_3})^2 dz_3 \right\} + GJ \int_0^{\frac{l}{2}} (\dot{u}_{z_3})^2 dz_3 + EC_w \int_0^{\frac{l}{2}} (\dot{u}_{z_3})^2 dz_3 \quad (3)$$

(2), (3) 式を X , α は $\frac{1}{2}$ の式より

$$X = 2\gamma \cdot \frac{3 - 4\gamma^2}{1 + \frac{I_1}{I_2} + \frac{48HI_1}{AL^3}} P, \quad \alpha = 2\gamma \cdot \frac{3 - 4\gamma^2}{1 + \frac{I_1}{I_2} + \frac{48HI_1}{AL^3}} \quad \because \kappa \gamma = l_1/l \text{ である。}$$

また EI , GJ , EC_{6d} はそれぞれ主桁 (載荷桁) の曲げ、ねじり、曲げねじり剛性を表し、 A , E は横構の断面積、弾性係数である。

また $\ddot{u}_{z_1} \sim \ddot{u}_{z_4}$, \ddot{u}_{z_2} , はそれぞれ次式で表わされる。

$$\ddot{u}_{z_1} = \frac{Pl}{EI} \left(1 - \frac{\alpha}{2}\right) \theta_1(z_1) \left(1 - \frac{z_1}{l}\right),$$

$$\left. \begin{aligned} \ddot{u}_{z_2} &= \begin{cases} \frac{Pl}{EI} \theta_2(z_2) \left(1 - \frac{\alpha}{2} \frac{z_2^2}{l^2}\right), & l_1 < z_2 < l/2, \\ \frac{Pl}{EI} \theta_2(z_2) \left\{1 - \frac{\alpha}{2\gamma} \left(1 - \frac{z_2}{l}\right)\right\}, & l/2 < z_2 < l - l_1, \\ \frac{Pl}{EI} \left(1 - \frac{\alpha}{2}\right) \theta_2(z_2) \left(1 - \frac{z_2}{l}\right), & l - l_1 < z_2 < l, \end{cases} \\ \ddot{u}_{z_3} &= \frac{Pl}{EI} \theta_3(z_3) \left\{1 - \frac{\alpha}{4\gamma} \left(1 - \frac{z_3}{l}\right)\right\} \\ \ddot{u}_{z_4} &= \frac{Pl}{EI} \theta_4(z_4) \left(1 - \frac{z_4}{l}\right) \end{aligned} \right\} \quad (4)$$

(1), (4) 式を (2), (3) 式に代入すると P に関する 2 次方程式を得る。(2) 式の 3 項の微小項は無視し、 $T - V = 0$ とおくと次式を得る。

$$P^2 \left[\left(1 - \frac{\alpha}{4}\right) \int_{l_1}^l \theta_1(z_1)^2 \left(1 - \frac{z_1}{l}\right)^2 dz_1 + \gamma \int_{l_1}^{l/2} \theta_2(z_2)^2 \left(1 - \frac{\alpha}{2} \frac{z_2^2}{l^2}\right) dz_2 + \gamma \int_{l/2}^{l-l_1} \theta_2(z_2)^2 \left\{1 - \frac{\alpha}{2\gamma} \left(1 - \frac{z_2}{l}\right)\right\} \left(1 - \frac{z_2}{l}\right) dz_2 \right. \\ \left. + \left(1 - \frac{\alpha}{2}\right) \int_{l-l_1}^l \theta_2(z_2)^2 \left(1 - \frac{z_2}{l}\right)^2 dz_2 - \alpha \left(1 - \frac{I_1}{I_2}\right) \left\{ \gamma \int_0^{l_1-l} \theta_3(z_3)^2 \left\{1 - \frac{\alpha}{4\gamma} \left(1 - \frac{z_3}{l}\right)\right\} \left(1 - \frac{z_3}{l}\right) dz_3 + \left(1 - \frac{\alpha}{2}\right) \int_{l_1-l}^{l/2} \theta_4(z_4)^2 \left(1 - \frac{z_4}{l}\right) \left(1 - \frac{z_4}{l}\right) dz_4 \right\} \right. \\ \left. - \frac{\alpha^2}{32} \left(\frac{I_1}{I_2}\right)^3 \int_0^{l/2} \theta_3(z_3)^2 \left(1 - \frac{z_3}{l}\right)^2 dz_3 \right] - \frac{4A^2 EI_1 GJ}{3l^3} \left(1 + \frac{12 EC_{6d}}{l^2 GJ}\right) = 0 \quad (5)$$

(5) 式は結局次式となすから γ は $F(\alpha)$ の γ が定まる α のみの関数として表わされる。

$$P = \frac{2.667}{l^2 F(\alpha)} \sqrt{EI_1 GJ \left(1 + \frac{12 EC_{6d}}{l^2 GJ}\right)} \quad (6)$$

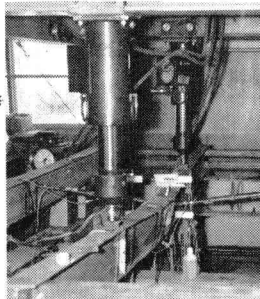
(6) 式の $F(\alpha)$ に関して $\gamma = 1/4$ の場合について座層荷重の倍率を図 3 に示す。

3. 実験結果と考察

実験は $l = 400 \text{ cm}$, $H = 175 \text{ cm}$, $\gamma = 1/4$,

$$A = 0.2642 \text{ cm}^2 \text{ で } I_1/I_2 = 0.214, 1.622$$

について行った。以下に座層荷重 6.70, 3.75 を得た。前者は 1.0 倍の座層荷重 (計算値は座層荷重 0) を使った計算値から 0.22 である。座層荷重は γ と共に I_1/I_2 に左右して横構断面積にも影響される。



模型実験

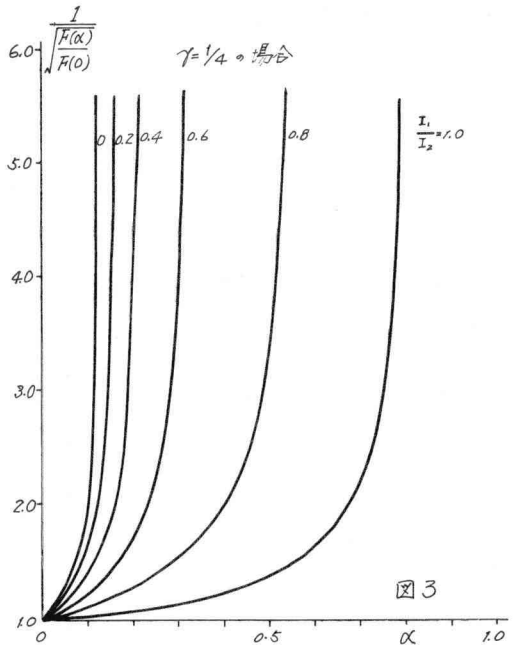


図 3